



مقاله پژوهشی

اثر بازدارنده رشد تایموکوئینون بر سلول‌های سرطانی راجی در لنفوم بورکیت

مرتضی داودی^۱، شهریار سعیدیان^۱، رضا صغیری^{۲*}، زهرا زمانی^۳، غلامرضا بخشی خانیکی^۳

۱- گروه بیوشیمی، دانشگاه پیام نور، تهران، ایران

۲- گروه بیوشیمی، انسیتو پاستور ایران، تهران، ایران

۳- گروه زیست‌شناسی، دانشگاه پیام نور، تهران، ایران

*مسئول مکاتبات: reza_saghiri@yahoo.com

DOI: 10.22034/ascij.2022.1957749.1388

تاریخ پذیرش: ۱۴۰۱/۰۶/۲۸

تاریخ دریافت: ۱۴۰۱/۰۲/۰۹

چکیده

گیاهان دارویی به علت ارزانی و قابل دسترس بودن و پذیرش بهتر بیماران، مورد توجه هستند. یکی از این گیاهان سیاه‌دانه (*Nigella sativa*) است. در این مطالعه اثر ضد تکثیری تایموکوئینون که ترکیب اصلی روغن دانه‌های سیاه‌دانه است، بر روی رده‌ی سلول‌های راجی بررسی می‌شود. سلول‌های راجی لنفوسیت‌های B سرطانی هستند که در لنفوم بورکیت در مراکز زیایی این سلول‌ها دیده می‌شوند. در تحقیق حاضر، سلول‌های راجی با رقت‌های مختلف تایموکوئینون از صفر تا ۱۰۰۰ میکروگرم در میلی‌لیتر تیمار شدند و تعیین درصد سلول‌های زنده با روش تریپان بلو و تست MTT صورت گرفت. همچنین جهت نشان دادن درصد سلول‌ها در مراحل مختلف رشد از روش فلورسایتومتری و کیت Annexin V-FITC/PI استفاده شد. بیان ژن *c-Myc* که مهمترین ژن تغییر یافته در ایجاد لنفوم بورکیت است با روش Real Time - PCR مورد بررسی قرار گرفت. آنالیز آماری نیز با استفاده از نرم‌افزار SPSS 2020 انجام شد. این مطالعه نشان داد که تایموکوئینون می‌تواند بطور وابسته به غلظت و وابسته به زمان موجب مهار رشد سلول‌های راجی شود. تایموکوئینون ضمن سرکوب بیان ژن *c-Myc* با درصد قابل توجهی موجب ورود سلول‌های راجی به مرحله مرگ برنامه‌ریزی شده و یا آپوپتوز می‌شود و توان بالقوه در درمان‌های جانبی بیماری لنفوم بورکیت را دارد.

کلمات کلیدی: لنفوم بورکیت، سیاه‌دانه، تایموکوئینون، سلول‌های راجی، ریل تایم پی‌سی‌آر.

مقدمه

اساس راه‌های ایجاد و منشأ بیماری است (۱۸، ۷). لنفوم بورکیت یکی از زیر گروه‌های NHL است. یک نوع سرطان سیستم لنفاوی بویژه لنفوسیت‌های B که در مرکز زیایی این سلول‌ها در گره‌های لنفی دیده می‌شود (۵، ۶). در سال ۱۹۶۳ میلادی دانشمندی به نام پالورتافت سلول‌هایی را از لنفوسیت‌های B یک

لنفوم یک واژه‌ی عمومی گسترده برای سرطان در سلول‌های سیستم لنفاوی است. لنفوم از لنفوسیت‌های غدد لنفاوی و یا دیگر بافت‌های لنفاوی شروع می‌شود. دو گروه عمده این بیماری شامل لنفوم هوچکین (HL) و غیرهوچکین (NHL) است. هر دو گروه به زیرگروه‌های بیشتر تقسیم می‌شوند. تقسیم بندهی بر

رونویسی به شدت فعال می‌شود. در این حالت پرومотор ۱ (P1) *c-Myc* بیشتر از پرومotor ۲ (P2)، که در حالت عادی فعال است، فعال می‌شود. این تغییر بعنوان جابجایی پرومоторی شناخته می‌شود (۱۱). دلیل اینکه در لنفوم بورکیت اغلب ترانسلوکاسیون ^{t(8;14)} وجود دارد این است که کروموزوم ۸ در لنفوسيت‌های B از نظر فضایی به کروموزوم ۱۴ نزدیکتر است (۲۵).

در گروهی از سرطان‌ها ژن *Myc* بطور پایدار بیان می‌شود که منجر به افزایش پروتئین MYC شده و این پروتئین موجب افزایش بیان بسیاری از ژن‌ها می‌شود. برخی از این ژن‌ها در تکثیر سلول و ایجاد سرطان دخیل هستند (۲۸).

پروتئین MYC از اعضای شبکه فاکتورهای رونویسی (basic helix-loop-helix leucine zipper) bHLHZ است که در تکثیر، تمایز و آپوپتوز سلول دخالت دارد. پروتئین MYC دارای توالی آسید آمینه‌های خاصی است که به توالی مشخصی از DNA اتصال می‌یابد اما به تنهایی نمی‌تواند اتصال قوی با DNA داشته باشد. برای اتصال پروتئین MYC به DNA، دایم شدن آن با پروتئین MAX (MAX associated factor X) لازم است (۱۲، ۸).

به دلیل اینکه پروتئین MYC قادر جایگاه فعال خاص برای ریزمولکول‌هایی است که بعنوان دارو استفاده می‌شوند، مهار فعالیت آن با استفاده از ریزمولکول‌های داروئی میسر نخواهد بود. دیگر اینکه پروتئین MYC بطور مشخص در هسته وجود دارد و هدف‌گذاری آن با آنتی بادی‌های تک ظرفیتی خاص از نظر تکنیکی عملی نخواهد بود. بنابراین هدف‌گذاری غیرمستقیم این پروتئین مورد توجه قرار می‌گیرد. داروهای مورد استفاده در این زمینه شامل داروهایی است مانند JQ1 که یک مهارکننده قدرتمند در مرحله رونویسی است و با اتصال به لایزین‌های استیله شده از

پسیچه ۱۱ ساله نیجریایی مبتلا به لنفوم بورکیت جدا کرد که سلول‌های راجی (Raji cells) نامیده شدند. این سلول‌ها اولین رده سلولی انسانی پیوسته از منشأ سلول‌های خون‌ساز هستند (۱۵، ۲۳). داروهای شیمی درمانی که برای درمان لنفوم مورد استفاده قرار می‌گیرند شامل: آدریامايسین، بلئومايسین، وین‌بلاسین، داکاربازین، اتوپوساید، دوکسوویسین، سیکلوفسفامید، پروکاربازین، پردنیزون و ریتوکسی‌ماب است. بسته به نوع و شدت بیماری ترکیبی از این داروها همراه با رادیوتراپی مورد استفاده قرار می‌گیرد. عارضه جانبی این داروها سمیت ریوی است که بطور عمده مربوط به بلئومايسین است. مصرف این داروها عوارض قلبی عروقی نیز درپی خواهد داشت. با وجود اینکه درمان‌های رایج در بیماران مبتلا به HL نرخ بهبود را افزایش بخشیده، با این حال میزان مرگ و میر در مراحل پیشرفته به ۳۰ درصد و در مراحل اولیه بیماری بین ۵ تا ۱۰ درصد است. میزان مرگ و میر در بسته به نوع زیر گروه بیماری متفاوت است و به ۴۰ درصد نیز می‌رسد (۲۱، ۱۴).

برای نتیجه بهتر و موفق‌تر در کنترل هر بیماری، تحقیق و معرفی داروهای جدید همواره ادامه خواهد داشت. بیماری لنفوم نیز از این قاعده مستثنی نیست. لنفوم بورکیت به علت ایجاد یک جابجایی کروموزومی از نوع متعادل و دوطرفه ایجاد می‌شود. جابجایی بین ژن‌های مربوط به ایمونوگلوبولین در کروموزوم‌های ۲، ۱۴، ۲۲، و *c-Myc* در کروموزوم ۸ می‌دهد. در ۸۰ درصد موارد لنفوم بورکیت، جابجایی *c-Myc* به لوکوس ایمونوگلوبولین H از کروموزوم ۱۴ است که منجر به تشکیل (q۲۴;q۳۲) (۱۴:۸) می‌شود. در ۱۵ درصد موارد جابجایی به لوکوس کاپا در کروموزوم ۱۱q۱۱ و در ۵ درصد موارد به لوکوس لامیدا در کروموزوم ۲۲q۱۱ مربوط می‌باشد. در نتیجه این جابجایی‌ها ژن *c-Myc* از لحاظ

آسم، فشارخون، دیابت، التهاب، سرفه، برونشیت، سردرد، اگرما، تب، سرگیجه و انفلوآنزا. تحقیقات اخیر در کشورهای مسلمان نشان می‌دهد که سیاهدانه بطور گسترده توسط بیماران مبتلا به سرطان بعنوان مکمل غذایی و مکمل دارویی همراه با شیمی درمانی استفاده می‌شود. عصاره دانه‌های سیاهدانه، روغن و انسنس روغنی آن طیفی از فعالیت‌های بیولوژیکی مطلوب نشان می‌دهند که بر جسته‌ترین آنها شامل اثر آنتی اکسیدان، ضد التهاب، ضد میکروب، حفاظت از کبد، ضد جهش و ضد تومور است. دانه سیاهدانه حاوی روغن، پروتئین‌ها، آکالالوئیدها، ساپونین‌ها، و انسنس است و بر جسته‌ترین ترکیب انسنس سیاهدانه، تایموکوئینون یا TQ نامیده می‌شود (۲۲). هدف از این مطالعه بررسی اثر ضد تکثیر و باز دارنده رشد تایموکوئینون بر روی سلول‌های راجی است که در بیماری لنفوم بورکیت دیده می‌شوند.

مواد و روش‌ها

تایموکوئینون بصورت پودر لئوفلیزه و با کد شیمیابی (Chemical Abstracts Service) CAS = 490-91-5 از شرکت Sigma Aldrich آلمان و رده‌ی سلولی راجی از بانک سلولی انتیتو پاستور ایران در تهران تهیه شد. ویال سلول‌های راجی در محیط آزمایشگاه قرار گرفت تا از حالت انجامداد خارج شود. سپس در فلاسک‌های ۲۵ میلی‌لیتری و در محیط کشت-RPMI-1640 (Roswell Park Memorial Institute) کشت داده شد. تعیین تعداد سلول‌های زنده نیز با روش رنگ‌آمیزی تریپان بلو انجام گرفت.

زنده‌مانی سلول (cell viability): سلول‌های راجی تهیه شده پس از خروج از فریزر و ذوب شدن در دمای اتاق در فلاسک‌های مجرا با زمان‌های انکوباسیون ۷۲، ۴۸ و ۲۴ ساعت کشت داده شد (پس از هر ۲۴ ساعت سلول‌ها سانتریفوژ شده و محیط

رونویسی ممانعت می‌کند. همچنین GSK525762 یک مهارکننده مرحله‌ی رونویسی است که در حال حاضر در فاز اول آزمایشات بالینی برای بدخیمی‌های پروسه‌ی خون‌سازی و تومورهای جامد قرار دارد (۸). راپامایسین (rapamycin) مهارکننده‌ای است که از ترجمه mRNA ژن Myc جلوگیری می‌کند. مکانیسم اثر راپامایسین مداخله و مهار مسیر PI3K است که با این ممانعت از رشد، سلول به سمت آپوپتوز هدایت می‌شود (۲۶). داروهای ضد سرطان که موجب کاهش و یا توقف رشد سلول‌های بدخیم می‌شوند، اثراتی ناخواسته بر سلول‌های طبیعی بدن نیز خواهد داشت. بعنوان مثال استفاده طولانی مدت از راپامایسین موجب افزایش مقاومت به انسولین هم در انسان و هم در حیوانات آزمایشگاهی است (۲۹).

ریزمولکول‌های نیز معرفی شده‌اند که از دایم شدن MYC-MAX ممانعت می‌کنند، مانند Omomyc که یک پیتید bHLH جهش یافته است و در بسیاری از مدل‌های توموری موشی، از این دایم شدن جلوگیری می‌نماید (۲).

گیاهان دارویی بعلت ارزانی و قابل دسترس بودن و پذیرش بهتر از طرف بیماران، برای درمان بیماری‌ها از جمله سرطان مورد توجه هستند. یکی از گیاهان دارویی مورد توجه، سیاهدانه (*Nigella sativa*) است. سیاهدانه گیاهی است یک ساله، علفی و از تیره آلاله (Ranunculaceae) متر می‌رسد و دارای گل‌های سفید، زرد، صورتی، آبی کمرنگ و قرمز است (۲۰). این گیاه در جنوب آسیا Black Cumin، در زبان عربی حب السودا و در زبان لاتین Panacea نامیده می‌شود (۹).

دانه‌های سیاهدانه که بعنوان زیره سیاه نیز شناخته می‌شود، عموماً بعنوان ادویه و چاشنی بکار می‌روند. در طب سنتی سیاهدانه به اشکال گوناگون برای درمان بسیاری از بیماری‌ها بکار می‌رود، بیماری‌هایی مانند

نام ۳-۴، ۵ دی متیل تیازول-۲-یل)-۵،۲- دی غنیل تترازولیوم بروماید است. این آزمایش برای سنجش فعالیت متابولیک سلول بعنوان نشانگر زنده بودن سلول بکار می‌رود. سلول‌های زنده دارای آنزیم‌های اکسیدوردوکتاز وابسته به NAD(P)H هستند که نمک تترازولیوم را به فورمازان تبدیل می‌کند. فورمازان یک کریستال نامحلول به رنگ ارغوانی تیره است. کریستال‌های فورمازان با استفاده از محلول حل کننده (DMSO) حل می‌شود و میزان جذب نوری آن توسط دستگاه خوانش جذب نوری در طول موج ۵۰۰ تا ۶۰۰ نانومتر ثبت می‌شود. هر اندازه که رنگ محلول تیره تر باشد تعداد سلول‌های زنده و فعال از نظر متابولیک بیشتر است (۱۶). تعداد چهل هزار (۴۰۰۰۰) سلول از سوسپانسون سلولی تهیه شده در مرحله قبل در هر چاهک پلیت ۹۶ تایی مخصوص کشت در حجم ۱۰۰ میکرولیتر محیط کشت همراه با رقت‌های مختلف TQ (۰، ۲۰۰، ۴۰۰، ۶۰۰، ۸۰۰ و ۱۰۰۰ میکروگرم در میلی لیتر) تلقیح شد. (برای هر رقت سه چاهک در نظر گرفته شد). پلیت‌ها در انکوباتور کشت سلول (دما ۳۷ درجه سانتیگراد و ۵ درصد CO₂) قرار گرفت و پس از ۲۴، ۴۸ و ۷۲ ساعت، بطور جداگانه ۵۰ میکرولیتر محلول MTT به هر چاهک افزوده شده و انکوباسیون مجدد به مدت ۱۸۰ دقیقه انجام شد. سپس ۱۰۰ میکرولیتر DMSO (به عنوان محلول حل کننده کریستال‌های فورمازان) افزوده شد. در نهایت میانگین جذب نوری در طول موج ۵۷۰ نانومتر ثبت گردید. برای حذف جذب نوری زمینه از طول موج ۶۳۰ نانومتر بعنوان فیلتر دوم استفاده شد. در بررسی‌های آماری نیز $p < 0.05$ در نظر گرفته شده و برای تعیین درصد سلول‌های رشد کرده و برآورد IC₅₀ از فرمول زیر استفاده گردید:

کشت رویی تخلیه شده و محیط کشت تازه افزوده شد). پس از زمان‌های ذکر شده محیط کشت حاوی سلول‌ها در لوله‌های فالکون استریل تخلیه شده و به مدت ۵ دقیقه با سرعت ۳۰۰۰ دور در دقیقه سانتریفوژ شد. پس از تخلیه محیط کشت رویی به سلول‌ها که در ته لوله رسوب کرده بودند مقدار ۱ میلی لیتر محیط کشت تازه حاوی FBS (بافر فسفات سالین) افزوده شد. از سوسپانسیون سلولی تهیه شده برای رنگ آمیزی با رنگ تریپان بلو ۰/۲۵ درصد و شمارش سلول استفاده گردید. در این روش حجم کمی از سوسپانسیون سلولی تهیه شده (۵۰ میکرولیتر) به نسبت یک به یک با رنگ تریپان بلو مخلوط شد و شمارش سلول‌ها با لام نئوبار انجام گرفت. در این روش سلول‌های رنگ نگرفته زنده و در دید میکروسکوپی دارای غشاء صاف و سلول‌های دارای غشاء چروکیده و رنگ گرفته (به دلیل از بین رفتن انسجام غشای سیتوپلاسمی و نفوذ رنگ به درون سلول) سلول‌های مرده هستند. پس از شمارش، درصد سلول‌های زنده از فرمول زیر محاسبه شد:
 درصد سلول‌های زنده = تعداد سلول‌های زنده / تعداد کل سلول‌ها $\times 100$

درصد مطلوب سلول‌های زنده برای آزمایش MTT حدود درصد است. به دلیل شرایط مختلف از جمله تاریخ تهیه و منجمد سازی سلول، نگهداری بصورت فریز شده، نوع محیط کشت استفاده شده و شرایط آزمایشگاهی مختلف، زمان انکوباسیون لازم برای رسیدن به درصد مطلوب ۸۰ درصد متفاوت خواهد بود. در شرایط این مطالعه پس از انکوباسیون ۴۸ ساعته درصد سلول‌های زنده به ۸۰ درصد رسیده است. از این سلول‌ها سوسپانسیونی تهیه گردید که در آزمایش MTT مورد استفاده قرار گرفت.

آزمایش MTT: آزمایش MTT یک روش رنگ سنجی بر اساس احیای نمک زرد رنگ تترازولیوم با

۱-۳-۲ - انتخاب غلظت مناسب تایموکوئینون برای فلوسایوتومتری: با توجه به آزمایش MTT و تعیین مقادیر غلظت IC50 برای زمانهای تیمار ۲۴، ۴۸ و ۷۲ ساعت، محدوده غلظت مؤثر TQ برای فلوسایوتومتری بین ۳۰۰ تا ۵۰۰ میکروگرم در میلی‌لیتر در نظر گرفته شد. برای تعیین غلظت مناسب در این محدوده، تعداد ۴۰۰۰ سلول طبق روش قبل در سه ردیف چاهک-های مجزا در پلیت ۹۶ تایی کشت داده شد و غلظت‌های ۳۰۰، ۴۰۰ و ۵۰۰ میکروگرم در میلی‌لیتر از TQ به هر سری بصورت مجزا افزوده شد. پس از زمان تیمار ۲۴ ساعت، یک منحنی نقطه‌ای فلوسایوتومتری برای هر یک از غلظت‌ها تهیه گردید. مقایسه منحنی‌های بدست آمده نشان داد که غلظت مناسب برای تفکیک مطلوب مراحل آپوپتوz و نکروز سلول‌ها غلظت ۴۰۰ میکروگرم در میلی‌لیتر است. در منحنی بدست آمده با غلظت ۳۰۰ میکروگرم در میلی‌لیتر تراکم سلول‌ها در منطقه Q3 در منحنی فلوسایوتومتری که مربوط به سلول‌های زنده است افزایش می‌یابد و در غلظت ۵۰۰ میکروگرم در میلی‌لیتر، تراکم سلول‌ها بیشتر در منطقه Q1 که مربوط به سلول‌های نکروز شده است خواهد بود (به شکل ۳ رجوع شود). غلظت ۴۰۰ میکروگرم در میلی‌لیتر تقریباً برابر با غلظت IC50 در انکوباسیون ۲۴ ساعت است.

ریل تایم پی‌سی‌آر (RT-PCR): میزان بیان ژن *Myc* با روش ریل تایم PCR بررسی شد. بیان این ژن در مقایسه با ژن *GAPDH* بعنوان ژن خانه‌دار (housekeeping) سنجیده شده و جدول ۱ توالی Oligo پرایمرهای مورد استفاده را که با نرمافزار *Oligo* بدست آمده نشان می‌دهد. برای آماده سازی سلول‌ها جهت انجام ریل تایم PCR از تعداد یک میلیون سلول استفاده شده که با غلظت ۴۰۰ میکروگرم در میلی‌لیتر TQ به مدت ۲۴ ساعت تیمار شده‌اند. پس از

درصد سلول‌های رشد کرده نسبت به کنترل = میانگین جذب نوری چاهک‌های تیمار شده/میانگین جذب نوری چاهک‌های کنترل × ۱۰۰

فلوسایوتومتری: جهت بررسی مراحل مختلف رشد و تعیین میزان آپوپتوz و نکروز از روش فلوسایوتومتری و از کیت Annexin V-FITC/PI استفاده می‌شود. به این منظور آزمایش بر روی سلول‌های تیمار شده با غلظت ثابت ۴۰۰ میکروگرم در میلی‌لیتر TQ در سه روز متوالی (۲۴، ۴۸ و ۷۲ ساعت) انجام شد. آنکسین V (و یا A5) (Annexin V) یکی از پروتئین‌های درون سلولی است که بطور وابسته به کلسیم، به فسفاتیدیل سرین اتصال می‌یابد. فسفاتیدیل سرین در سلول‌های سالم بطور طبیعی تنها در لایه درونی غشاء پلاسمایی دیده می‌شود اما در طی مراحل اولیه‌ی آپوپتوz که این عدم تقارن از دست می‌رود، فسفاتیدیل سرین به لایه‌ی بیرونی غشاء منتقل می‌شود. آنکسین V که با (Fluorescein-5-isothiocyanate) FITC نشاندار شده است می‌تواند بطور اختصاصی به اتصال یابد و سلول‌های آپوپتویک را مشخص سازد. اتصال آنکسین به تنها یک نمیتواند سلول‌های آپوپتوz شده و یا نکروز شده را تمایز سازد. بمنظور تفکیک سلول‌های آپوپتویک و نکروتیک از محلول پروپیدیوم یدید استفاده می‌شود که می‌تواند در سلول‌های آپوپتویکی که در مرحله‌ی آخر آپوپتوz هستند و سلول‌های نکروز شده که انسجام غشاء هسته از دست رفته است به هسته نفوذ کرده و به DNA اتصال یابد. پروپیدیوم یدید (PI) یک رنگ فلورسنت است که با تحریک نور لیزر با طول موج ۴۸۸ نانومتر رنگ قرمز ایجاد می‌کند و شدت رنگ ایجاد شده با فیلتر ۶۱۰ نانومتر اندازه‌گیری می‌شود. از این محلول در ارزیابی زنده بودن سلول و یا تعیین محتوای DNA سلول در بررسی‌های سیکل سلولی استفاده می‌شود (۲۴).

کیت یکتا تشخیص آزمایش استفاده شد. cDNA سترز شده تا زمان انجام آزمایش در دمای ۲۰ درجه سانتیگراد قرار گرفت.

انکوباسیون، سلول‌های RNA استخراج کیت استخراج RNA شرکت All Gene استخراج شده و از این RNA‌های استخراج شده برای تهیه cDNA توسط

جدول ۱- توالی پرایمرهای مورد استفاده برای ژن‌های *c-Myc* و *GAPDH*

gene	Sequence	TM
<i>GAPDH</i>	F: AGGGCTGCTTTAACCTCTGG R: CCCCACTTGATTTGGAGGG	60
<i>c-Myc</i>	F: GGGAAAGAAGCCAGTCAGATC R: GGAAGCAAGGAGAGTTGTAG	60

نتایج

نوری چاهک‌هایی است که بعنوان کنترل برای زمان تیمار ۲۴ ساعت در نظر گرفته شده است. کاهش درصد رشد سلول‌ها که متناسب با افزایش غلظت و زمان انکوباسیون است در جدول ۲ نشان داده شده است.

منحنی پاسخ دوز: مقادیر IC₅₀ (half maximal inhibitory concentration) با استفاده از نرم‌افزار Excel محاسبه شده و برای رسم منحنی پاسخ دوز در این نرم افزار درصد رشد نسبت به کنترل در محور Y‌ها و رقت‌های مختلف TQ هر سری از چاهک‌های تیمار شده در محور X‌ها قرار می‌گیرد. منحنی پاسخ دوز پس از انجام تست MTT بصورت شکل ۲ رسم می‌شود. با توجه به منحنی شکل ۲ مقادیر IC₅₀ برای زمان‌های ۲۴، ۴۸ و ۷۲ ساعت به ترتیب ۴۲۰، ۳۶۰ و ۳۰۰ میکروگرم در میلی‌لیتر برآورد می‌شود. این مقادیر نشان می‌دهد که اثر TQ در مهار رشد سلول‌های راجی وابسته به زمان است. غلظت‌های ۳۶۰ و ۳۰۰ میکروگرم در مدت زمان ۲۴ ساعت توان مهار رشد به میزان ۵۰ درصد را ندارند و برای رسیدن به IC₅₀ نیاز به زمان بیشتری است. مقادیر بدست آمده وابستگی اثر ممانعت از رشد به غلظت را نیز نشان می‌دهد.

بررسی زندehمانی سلول: سلول‌های راجی کشت شده پس از ۴۸ ساعت با روش رنگ‌آمیزی تریپان بلو مورد بررسی قرار گرفت. مقدار ۵۰ میکرولیتر از سوسپانسیون سلولی با ۵۰ میکرولیتر رنگ تریپان بلو با رقت ۰/۲۵ درصد مخلوط شده و پس از ۵ دقیقه سلول‌ها با لام نئوبار شمارش شد. نتیجه رنگ‌آمیزی سلول‌های راجی با این روش برای سلول‌هایی که به مدت ۴۸ ساعت در انکوباتور کشت سلولی قرار داشته‌اند در شکل ۱ نشان داده شده است.

آزمایش MTT: نتایج آزمایش MTT در زمانهای ۲۴، ۴۸ و ۷۲ ساعت پس از مجاورت با TQ نشان می‌دهد که میزان رشد و تکثیر سلول‌های راجی کاهش یافته است. مقدار این کاهش علاوه بر وابستگی به زمان، ماهیت وابستگی به غلظت TQ نیز دارد، بطوریکه با گذشت زمان غلظت مورد نیاز برای رسیدن به IC₅₀ کاهش می‌یابد. مقادیر غلظت و زمان آزمایش MTT و ارقام محاسبه شده در جدول ۲ نشان داده شده است. در جدول ۲ منظور از کنترل این است که در ابتدای آزمایش بدون انجام انکوباسیون آزمایش MTT انجام شده و جذب نوری چاهک‌ها نسبت به آن سنجیده می‌شود. بعنوان مثال، برای زمان ۲۴ ساعت میانگین OD محاسبه شده برای هر یک از غلظت‌ها، نسبت به عدد 0.23 سنجیده شده که این عدد میانگین جذب

نظر پرایمر از cDNA $\Delta\Delta Ct$ جدا شده و سیکل دوم رونویسی را شروع می‌کند. نوکلوتیدهایی که در شرایط آزمایش برای تکثیر ژن در اختیار پرایمر قرار دارند دارای نشانگر فلورسانس هستند و زمانی که در توالی‌های ژن تکثیر شده قرار می‌گیرند، میزان فلورسانس توسط دستگاه ثبت می‌شود. با تکرار سیکل‌های PCR تعداد نوکلوتیدهای بیشتری استفاده می‌شود و میزان فلورسانس ثبت شده توسط دستگاه افزایش می‌یابد. منحنی PCR میزان افزایش فلورسانس در مقابل شماره سیکل تکرار رونویسی را نشان می‌دهد. در ابتدای آزمایش که میزان ثبت فلورسانس توسط دستگاه کم است، منحنی افزایش فلورسانس بصورت خطی و موازی با محور X و یا محور شماره سیکل است. با تکرار چند سیکل، میزان فلورسانس افزایش می‌یابد و منحنی به شکل صعودی ثبت می‌شود. در نهایت با مصرف نوکلوتیدهای نشاندار که در محیط آزمایش قرار دارند میزان رونویسی ژن کاهش یافته و منحنی با حالت موازی با محور X رسم می‌شود. سیکلی از آزمایش که ثبت منحنی فلورسانس بطور واضح به حالت صعودی است، سیکل آستانه نامیده می‌شود که معمولاً از سیکل ۲۰ به بعد رخ می‌دهد. پس از انجام RT-PCR برای سلول‌های تیمار شده با TQ، نتایج در جدول ۴ ثبت گردید. با استفاده از مقادیر بدست آمده CT‌ها یا آستانه سیکل‌های PCR مقادیر ΔCt و $\Delta\Delta Ct$ محسوبه می‌شود و در نهایت مقدار چند برابر شدن بیان ژن (folding change) از رابطه $2^{-\Delta\Delta Ct}$ (F. change = $2^{-\Delta\Delta Ct}$) بدست می‌آید. ΔCt برابر است با تفاضل Ct ژن مورد نظر از Ct ژن GAPDH. در این مطالعه آزمایش PCR دوبار انجام شده و از میانگین Ct برای هر ژن استفاده شده است. میانگین Ct برای ژن GAPDH در جدول برابر با $35/65$ و برای ژن c-Myc برابر با $28/97$ است. بنابراین ΔCt برای سلول‌های تیمار شده با TQ برابر است با:

فلوسایتومتری: سلول‌های راجی تیمار شده با غلظت ثابت 400 میکروگرم در میلی لیتر TQ در سه روز متوالی (24 , 48 و 72 ساعت) مورد بررسی فلوسایتومتری قرار گرفت و از سلول‌های راجی بدون تیمار با TQ بعنوان کنترل استفاده شد. نتایج بررسی Annexin V-PI در ساعت صفر (و یا کنترل)، 24 , 48 و 72 ساعت بصورت منحنی نقطه‌ای در شکل ۳ نشان داده شده است. در منحنی فلوسایتومتری بدست آمده برای سلول‌های کنترل (شکل ۳، A) اغلب سلول‌ها زنده هستند و تراکم در منطقه Q3 بسیار زیاد است. درصد کمی از سلول‌ها نیز در منطقه Q1، Q2 و Q4 قرار گرفته‌اند. با گذشت زمان 24 ساعت تیمار با TQ تعدادی از سلول‌ها وارد مراحل مختلف آپوپتوز و یا نکروز می‌شوند (شکل ۳، B). در منحنی بدست آمده پس از 48 ساعت (شکل ۳، C) پراکنش سلول‌ها در چهار قسمت منحنی بیشتر شده و در منحنی بدست آمده پس از 72 ساعت (شکل ۳، D) سلول‌ها بطور مطلوب در مناطق Q1 تا Q4 تفکیک شده‌اند. مقادیر بدست آمده از بررسی فلوسایتومتری بصورت $\pm SD$ میانگین سه تکرار ($P < 0.05$) محاسبه شده و در جدول ۳ نشان داده شده است. چنانچه ملاحظه می‌شود، درصد سلول‌های زنده پس از 24 , 48 و 72 ساعت از $86/6$ به ترتیب به $48/3$, $39/1$ و $27/9$ کاهش یافته است. افزایش درصد سلول‌هایی که وارد مراحل آپوپتوز و یا نکروز شده‌اند نسبت به کنترل نیز در جدول ۳ نشان داده شده است.

RT-PCR: محاسبات RT-PCR بر مبنای سیکل آستانه (cycle threshold) صورت می‌گیرد. زمانی که آماده شده همراه با پرایمرهای طراحی شده در cDNA شرایط انجام PCR در دستگاه قرار می‌گیرد، با اتصال پرایمر به توالی مکمل خود بر روی cDNA رونویسی آغاز می‌شود. پس از پایان اولین رونوشت از ژن مورد

مقدار folding change میزان تغییر بیان ژن را نشان می‌دهد. اگر این مقدار برابر ۱ باشد، به مفهوم عدم تغییر بیان ژن نسبت به کنترل است. مقادیر کمتر از ۱ کاهش بیان و مقادیر بیشتر از ۱ افزایش بیان ژن را نشان می‌دهد. در اینجا میزان بیان ژن *c-Myc* نسبت به کنترل تحت اثر TQ درصد ($0.78 = 0.78 / 1 - 1$) کاهش نشان می‌دهد.

$\Delta ct = 35/65 - 28/97 = 6/68$
و همچنین Δct برای سلول‌های بدون تیمار (کنترل) $\Delta ct C = 28/63 - 22/3 = 6/33$ برابر است با: $\Delta\Delta ct = \Delta ct - \Delta ct C$ برای محاسبه *F.change* ابتدا باید محاسبه شود که عبارت است از تفاضل Δct کنترل از Δct ژن مورد نظر. $\Delta\Delta ct$ برای ژن *c-Myc* عبارت است از: $\Delta\Delta ct = \Delta ct - \Delta ct C = 6/68 - 6/33 = 0.35$
c-Myc F. change $= 2^{-0.35} = 0.78$

جدول ۲- درصد رشد سلول‌های راجی تیمار شده با غلظت‌های مختلف تایموکوئینون (میکروگرم) در مقایسه با کنترل برای انکوباسیون ۴۸، ۲۴ و ۷۲ ساعت ($p < 0.05$)

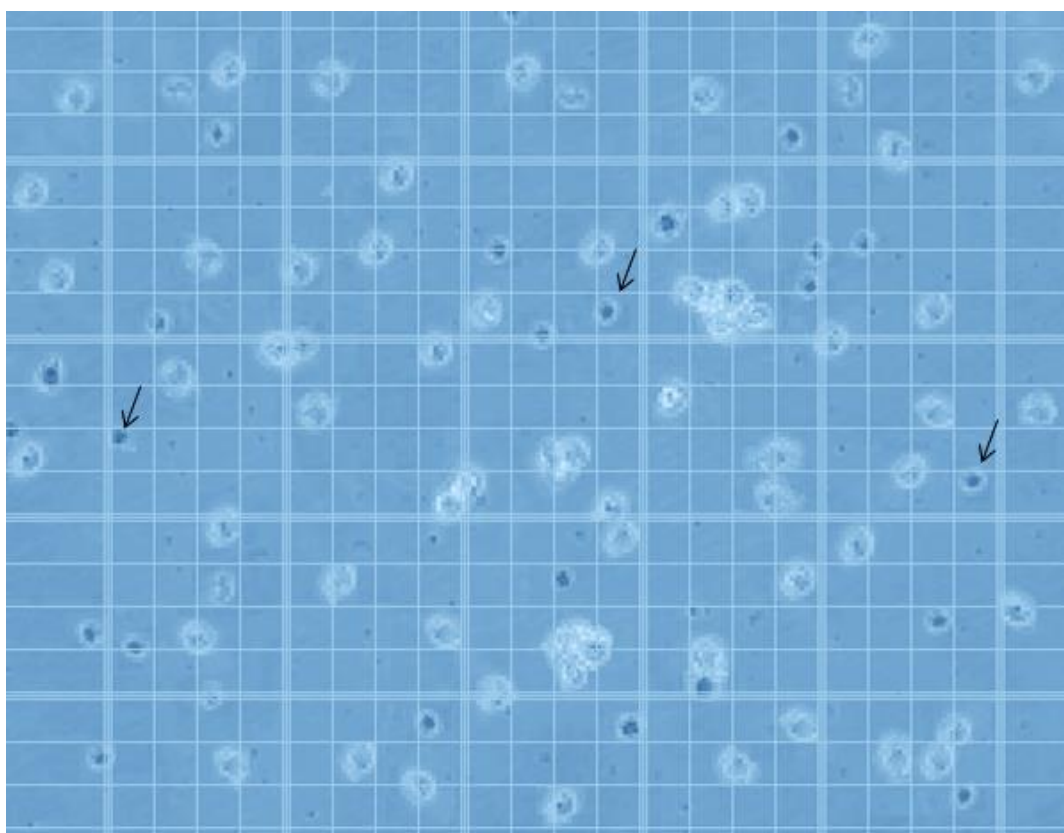
رقت‌های TQ						
۱۰۰۰	۸۰۰	۶۰۰	۴۰۰	۲۰۰	صفرا	کنترل
ساعت ۲۴						
۰/۰۳	۰/۰۶	۰/۰۹	۰/۱۲	۰/۱۷	۰/۲۱	۰/۲۳
۱۳	۲۶	۳۹	۵۲	۷۴	۹۱	-
ساعت ۴۸						
۰/۰۳	۰/۰۶	۰/۰۸	۰/۱۳	۰/۲۱	۰/۲۸	۰/۳۱
۱۰	۱۹	۲۵	۴۲	۶۷	۹۰	-
ساعت ۷۲						
۰/۰۱	۰/۰۲	۰/۰۶	۰/۱۱	۰/۱۹	۰/۲۶	۰/۲۹
۳	۶	۲۱	۳۷	۶۵	۸۹	-

جدول ۳- درصد سلول‌های متاثر از Annexin V که با فلوسایتومنتری بررسی شده است. "SD میانگین" سه تکرار ($p < 0.05$)

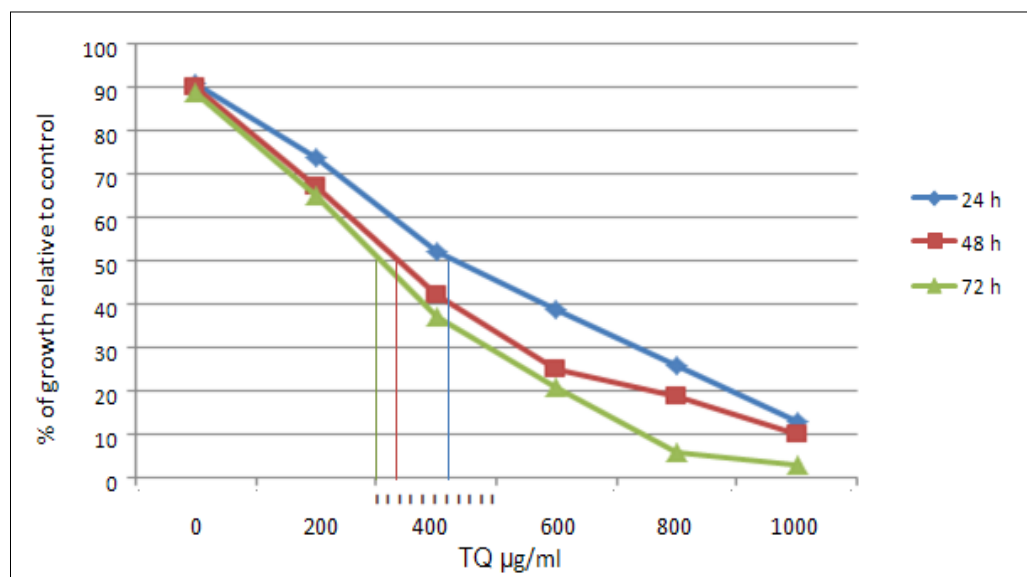
زنده (Q3)	آپوپتوز اولیه (Q4)	آپوپتوز تاخیری (Q2)	نکروز شده (Q1)
۲۷/۹	۳۹/۱	۴۸/۳	۸۶/۶
۱۵/۴	۱۳/۲	۱۱/۸	۱/۷
۲۵/۶	۲۱/۷	۱۷/۵	۴/۹
۳۱/۱	۲۶	۲۲/۴	۶/۸

جدول ۴- مقادیر عددی CT (cycle threshold) برای ژن‌ها در سلول‌های تیمار شده با تایموکوئینون

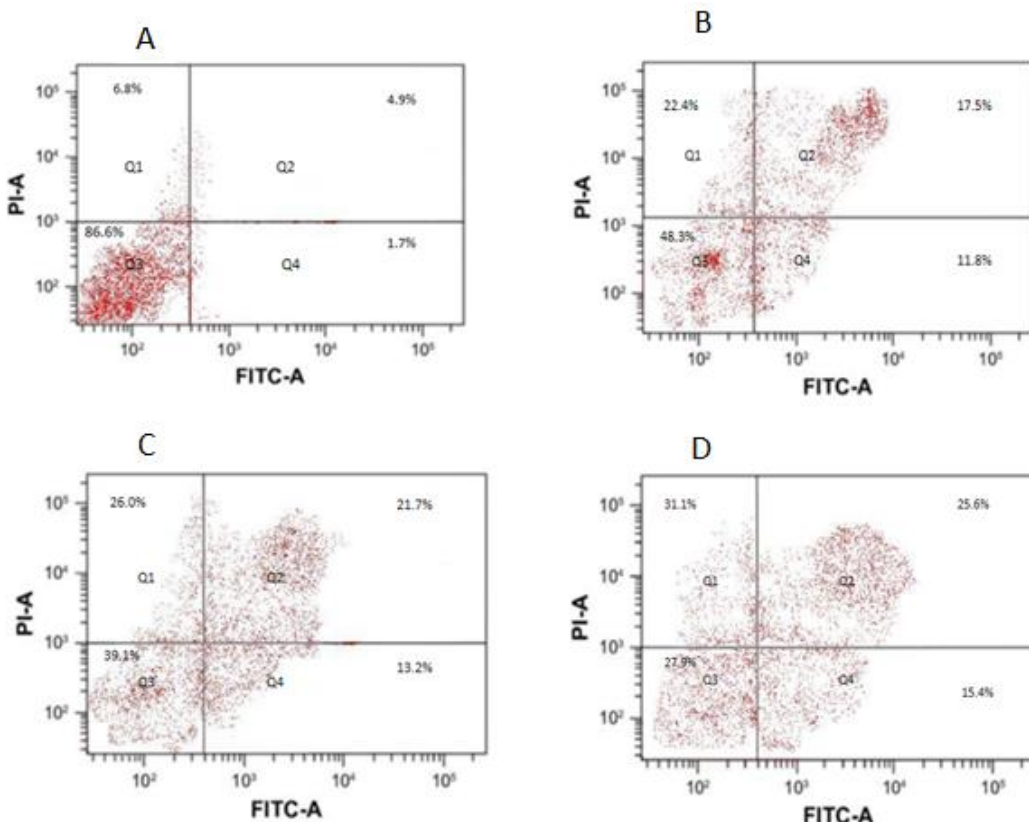
F.change	$\Delta\Delta ct$	Δct	CT میانگین	تکرار CT	CT	نمونه	ژن
			۲۸/۷۹	۲۹/۵۹	۲۸	تایموکوئینون	GAPDH
			۲۲/۳	۲۱/۲۲	۲۳/۳۸	کنترل	GAPDH
۰/۷۸	۰/۳۵	۶/۶۸	۳۵/۶۵	۳۵/۷	۳۵/۶	تایموکوئینون	<i>c-Myc</i>
۱	۰	۶/۳۳	۲۸/۶۳	۲۹/۰۶	۲۸/۲۱	کنترل	<i>c-Myc</i>



شکل ۱- رنگ‌آمیزی تریپان بلو، سلول‌های راجی پس از کشت ۴۸ ساعته. پیکان‌ها سلول‌های مرده و رنگ گرفته را نشان می‌دهند.



شکل ۲- منحنی پاسخ دوز (اثر غلظت‌های مختلف تایموکوئینون) در زمان‌های ۲۴، ۴۸ و ۷۲ ساعت بر روی سلول‌های راجی



شکل ۳- منحنی نقطه‌ای فلوسایتوometری سلول‌های راجح تیمار شده با ۴۰۰ میکروگرم در میلی‌لیتر TQ در زمان‌های مختلف. A. ساعت صفر بدون تیمار با تایموکوئینون، B. تیمار با تایموکوئینون به مدت ۲۴ ساعت، C. تیمار با تایموکوئینون به مدت ۴۸ ساعت و D. تیمار با تایموکوئینون به مدت ۷۲ ساعت

بحث

میلی‌گرم به ازای هر کیلوگرم وزن بدن بدون هیچگونه سمیت و یا تلفات گزارش شده است (۱). در سال ۲۰۰۹ میلادی اثر TQ بر روی سلول‌های سلطانی پانکراس مورد بررسی قرار گرفت. در این تحقیق از رده سلول‌های اپیتلیال پانکراس سالم انسان نیز عنوان کنترل استفاده شد. این مطالعه نشان داد که ۷۰ تا ۷۰ درصد موجب مهار زندگانی سلول‌های بدخیم پانکراس شده در حالی که بر روی سلول‌های سالم که به عنوان کنترل آزمایش شده بود تنها به صورت جزئی و محدود اثر داشت. همچنین TQ موجب افزایش حساسیت سلول‌های بدخیم پانکراس به داروهای شیمی‌درمانی می‌شود. بطوریکه تیمار سلول‌های بدخیم با یکی از داروهای شیمی‌درمانی

در سال ۲۰۰۸ میلادی مطالعه‌ای برای تعیین غلظت TQ (lethal Dose 50) LD50 یا میزان تایموکوئینون که موجب کشته شدن ۵۰ درصد از موش‌ها و رت‌های آزمایشگاهی می‌شود انجام شد. میزان TQ استفاده شده در تزریق داخل صفاقی، به ترتیب ۱۰۴/۷ و ۵۷/۵ میلی‌گرم برای هر کیلوگرم وزن بدن برای موش‌ها و رت‌های آزمایشگاهی و در تجویز خوراکی به ترتیب ۸۷۰/۹ و ۷۹۴/۳ میلی‌گرم برای هر کیلوگرم وزن بدن تعیین گردید. مقادیر بدست آمده در حدود ۱۰۰ تا ۱۵۰ برابر بیشتر از میزان TQ استفاده شده در بررسی‌های خواص ضد التهاب، آنتی‌اکسیدان و ضد سرطانی این ماده است. در شمار زیادی از مطالعات جانوری این ماده در محدوده ۱۰۰-۱۰ مصرف خوراکی TQ

مرحله آپوپتوز شده‌اند قابل توجه است. اثر ممانعت از رشد وابسته به زمان است. ژن *c-MYC* مهمترین ژنی که در لنفوم بورکیت با افزایش بیان چندین برابر ایجاد بیماری می‌نماید در شرایط این مطالعه تحت اثر TQ به میزان ۲۲ درصد کاهش بیان نشان می‌دهد. غلظت TQ استفاده شده در این مطالعه در مقیاس میکروگرم در میلی‌لیتر است که در مقایسه با غلظت‌های میلی‌گرم در میلی‌لیتر تعیین شده در اندازه‌گیری‌های LD50 به مقدار قابل توجهی کمتر است. بنابراین استفاده مقدار مؤثر بعنوان مکمل داروئی می‌تواند از اینمی لازم برخوردار باشد.

نتیجه‌گیری

نتایج مطالعه حاضر و مطالعاتی که در گذشته در مورد تایموکوئینون انجام شده، اثرات مثبت این ماده در ممانعت از رشد سلول‌های سرطانی را نشان می‌دهد. اغلب این مطالعات در حالت برونتنی و یا آزمایش بر روی جانوران آزمایشگاهی است. بررسی اثرات این ماده در مطالعات انسانی نیازمند تعیین ADME (Absorption, distribution, metabolism and excretion) است و باید سمتی، میزان جذب و توزیع در بدن، متابولیسم و دفع آن مشخص شود. پس از تعیین و تأیید ADME ماده مورد نظر می‌تواند وارد مرحله آزمایش‌های بالینی شود. به هر حال با توجه به اینکه تایموکوئینون موجب کاهش رشد سلول‌های راجی می‌شود میتواند بعنوان یک مکمل در کاهش عوارض ناشی از بیماری لنفوم بورکیت و داروهای شیمی درمانی در درمان این بیماری مدد نظر باشد.

منابع

1-Abukhader M.M. 2013. Thymoquinone in the clinical treatment of cancer: Fact or fiction? *Pharmacognosy Reviews*, 7(14): 117-120.

oxaliplatin یا gemcitabine به تنها می موجب کاهش زنده‌مانی سلول‌های سرطانی پانکراس به میزان ۵۰-۱۵ درصد می‌شود. در حالی که در استفاده از این داروها همراه با TQ این میزان به ۸۰-۶۵ درصد می‌رسد (۳).

در مطالعه انجام شده در سال ۲۰۱۷ میلادی اثرات ضد تومور TQ مورد بررسی قرار گرفت. این اثرات شامل القای آپوپتوز از طریق صدمات اکسیداتیو به DNA سلول، کاهش مقاومت به شیمی‌درمانی بواسطه خاصیت آنتی اکسیدان و هدف قرار دادن مسیرهای سیگنانینگ کارسینوژنیک است (۱۳).

در رده سلول‌های سرطانی پروستات، C4-2B، ترکیب TQ با داروی شیمی‌درمانی Docetaxel موجب القای آپوپتوز از طریق مهار مسیر بیوشیمیایی Docetaxel PI3K/AKT Signaling می‌شود. داروی DTX (DTX) با ممانعت از دیلیمیریزاسیون میکروتوبول‌ها تقسیم میتوتیک سلول را متوقف می‌سازد. استفاده از TQ و یا DTX بطور مجرأ موجب توقف رشد سلول‌های تومور می‌شود اما استفاده از ترکیب TQ و DTX با هم اثر القای آپوپتوز را افزایش می‌دهد بطوری که غلظت استفاده شده از مجموع غلظت‌های دو عامل به تنها می، کمتر است (۲۷).

در مطالعه انجام شده در سال ۲۰۲۱ میلادی در مورد کودکان مبتلا به بتا تالاسمی مژور نشان داده شده که استفاده از پودر سیاهدانه به میزان ۲ گرم در روز همراه با غذا و نوشیدنی‌ها به مدت ۳ ماه موجب تقویت سیستم ایمنی و افزایش گلبول‌های سفید می‌شود (۱۰).

در این مطالعه نیز مجاورت سلول‌های راجی با غلظت ثابت ۴۰۰ میکروگرم در میلی‌لیتر TQ موجب کاهش معنی‌دار تعداد سلول‌های زنده می‌شود و به درجاتی متناسب با زمان تیمار، سلول‌ها وارد مرحله آپوپتوز می‌شوند. درصد سلول‌هایی که تحت اثر TQ وارد

- Comprehensive Review on Phytochemistry, Health Benefits, Molecular Pharmacology, and Safety. *Nutrients*, 13(6):1784.
- 11- Hu H.M., Kanda K., Zhang L., Boxer L.M. 2007. Activation of the *c-Myc* p1 promoter in Burkitt's lymphoma by the hs3 immunoglobulin heavy-chain gene enhancer. *Leukemia*, 21(4):747-753.
- 12- Kalkat M., Resetca D., Lourenco C., Chan P., Wei Y., 2018. MYC Protein Interactome profiling reveals functionally distinct regions that cooperate to drive tumorigenesis. *Molecular Cell*, 72(5):836-848.
- 13- Khan A., Tania M., Fu S., Fu J. 2017. Thymoquinone, as an anticancer molecule: from basic research to clinical investigation. *Oncotarget*, 8(31): 51907-51919.
- 14- Lewis D.W., Lilly S., Jones K.L. 2020. Lymphoma: Diagnosis and Treatment. *Am Fam Physician*, 101(1):34-41.
- 15- Ling Yong, CL., Wei Ow D.S., Tandiono T., Mei Heng L.L., Keung Chan K.K., Dieter Ohl C., Klaseboer E., Wan Ohl S., Hwa Choo A.B. 2014. Microbubble-mediated sonoporation for highly efficient transfection of recalcitrant human B- cell lines. *Biotechnology Journal*, 9(8):1081-1087.
- 16- Meerloo J.V., Kaspers G.J.L., Cloos J. 2015. Cell sensitivity assays: The MTT assay. Methods in Molecular Biology. Springer Ukraine, *MIMB*, (731): 237-244.
- 17- Misteli T. 2011. The inner life of the genome. *HHS Author Manuscripts*, 304(2): 66-73.
- 18- Mugnaini E.N., Ghosh N. 2016. Lymphoma. Prim Care. *Lymphoma Research Gate*, 43(4):661-675.
- 19- Nickavar B., Mojab F., Amoli M. 2003. Chemical composition of the fixed and volatile oils of *Nigella sativa L.* from Iran. *National Library of Medicine*, 58(9/10):629-631.
- 2- Adhikary S., Eilers M. 2005. Transcriptional regulation and transformation by Myc proteins. *Molecular Cell Biology*, 6(8):635- 645.
- 3- Banerjee S., Kaseb A.O., Wang Z., Kong D., Mohammad M., Padhye S., Sarkar F.H., Mohammad R.M. 2009. Antitumor activity of gemcitabine and oxaliplatin is augmented by thymoquinone in pancreatic cancer. *Cancer Research*, 69(13):5575-5583.
- 4- Beaulieu M.E., Castillo F., Soucek L. 2020. Structural and Biophysical Insights into the Function of the Intrinsically Disordered Myc Oncoprotein. *Cells*, 9(1038):1-27.
- 5- Burkitt D.P. 1983. The discovery of Burkitt's lymphoma. *Cancer*, 51(10):1777-86.
- 6- Burkitt D.P. 1958. A sarcoma involving the jaws in African children. *The British Journal of Surgery*, 46(197):218-223.
- 7- Caponetti G., Bagg A. 2017. Demystifying the diagnosis and classification of lymphoma: a hematologist/oncologist's guide to the hematopathologist's galaxy. *Journal of Community and Supportive Oncology*, 15(1):43-48.
- 8- Chen H., Liu H., Qing G., 2018. Targeting oncogenic Myc as a strategy for cancer treatment. *Signal Transduction and Targeted Therapy*, 3(5):1-7.
- 9- Gilani A., Jabeen Q., Ullah Khan M. 2004. A review of medicinal uses and pharmacological activities of *Nigella sativa*. *Pakistan Journal of Biological Sciences*, 7: 441-451.
- 10- Hannan A., Rahman A., Sohag A.A., Uddin J., Dash R., Sikder M.H., Rahman S., Timalsina B., Munni Y.A., Sarker P.P., Alam M., Mohibullah M., Haque N., Jahan I., Hossain T., Afrin T., Rahman M., Arif T.U., Mitra S., Oktaviani D.F., Khan K., Choi H.J., Moon I., Kim B. 2021. Black Cumin (*Nigella sativa L.*): A

- 25- Roix J.J., McQueen P.G., Munson P.J., Parada L.A., Misteli T. 2003. Spatial proximity of translocation-prone gene loci in human lymphomas. *Nature Genetics*, 34(3):287-291.
- 26- Schmitz R., Ceribelli M., Pittaluga S., Wright G., Staudt L.M., 2014. Oncogenic Mechanisms in Burkitt Lymphoma. *Cold Spring Harbor Perspectives in Medicine*, 4(2):a014282.
- 27- Singh S.K., Apata T., Gordetsky J.B., Singh R., 2019. Docetaxel Combined with Thymoquinone Induces Apoptosis in Prostate Cancer Cells via Inhibition of the PI3K/AKT Signaling Pathway. *Cancers*, 11(1390):1-13.
- 28- Wasylisen A., Penn L.Z. 2010. Myc The Beauty and the Beast. *Genes Cancer*, 1(6):532-541.
- 29- Yu Z., Wang R., Fok W.C., Cloes A., Salmon A.B., Perez V.I. 2015. Rapamycin and Dietary Restriction Induce Metabolically Distinctive Changes in Mouse Liver. *Journals of Gerontology: Biological Sciences*, 70(4):410-420.
- 20- Padhye S., Banerjee S., Ahmad A., Mohammad R., Sarkar F.H. 2008. From here to eternity-the secret of Pharaohs: Therapeutic potential of black cumin seeds and beyond. *Cancer Therapy*, 6(b):495-510.
- 21- Potre O., Pescaru M., Sima A., Ionita L., Tudor R., Borsi E., Samfireag M., Potre C. 2021. Evaluation of the Relapse Risk and Survival Rate in Patients with Hodgkin Lymphoma: A Monocentric Experience. *Medicina (Kaunas)*, 57(10): 1026.
- 22- Pourbakhsh H., Taghiabadi E., Abnous K., Hariri A.T., Hosseini S.M., Hosseinzadeh H. 2014. Effect of *Nigella sativa* fixed oil on ethanol toxicity in rats. *Iran Journal Basic Medicine*, 17(12):1020-31.
- 23- Pulvertaft, R.J.V. 1965. A study of malignant tumours in Nigeria by short-term tissue culture. *Journal of Clinical Pathology*, 18(3):261-273.
- 24- Rieger A.M., Nelson K.L., Konowalchuk J.D., Barreda, D.R. 2011. Modified annexin v/propidium iodide apoptosis assay for accurate assessment of cell death. *Journal of Visualized Experiments*, 24(50):2597.

Anti-proliferative Effect of Thymoquinone on Raji Cell Line in Burkitt's Lymphoma

Morteza Davoodi¹, Shahriyar Saeidiyan¹, Reza Saghiry^{2*}, Zahra Zamani², Gholamreza Bakhshi Khaniki³

1- Department of Biochemistry, Payame Noor university, Tehran, Iran

2- Department of Biochemistry, Pasteur Institute of Iran, Tehran, Iran

3- Department of Plant Sciences, Payame Noor university, Tehran, Iran

Abstract

Medicinal plants are of interest due to their cheapness, accessibility and better acceptance by patients. One of these plants is black seed (*Nigella sativa*). In this study, the anti-proliferative effect of thymoquinone, which is the main component of black seed oil, is investigated on Raji cells. Raji cells are cancerous B lymphocytes that are seen in the germinal centers of Burkitt's lymphoma. In present study, Raji cells were treated with different dilutions of thymoquinone from 0 to 1000 µg/ml and the percentage of living cells was determined by trypan blue method and MTT test. Also, flow cytometry and Annexin V-FITC/PI kit were used to show the percentage of cells in different stages of growth. The expression of c-Myc gene, which is the most important altered gene in the development of Burkitt's lymphoma, was investigated by Real Time-PCR method. Statistical analysis was also done using SPSS 2020 software. This study showed that thymoquinone can inhibit the growth of Raji cells in a concentration-dependent and time-dependent manner. Thymoquinone, while suppressing the expression of c-Myc gene with a significant percentage, causes Raji cells to enter the stage of programmed death or apoptosis, and has the potential to be used as an adjunctive treatment for Burkitt's lymphoma.

Keywords: Burkitt's lymphoma, *Nigella sativa*, Thymoquinone, Raji cells, RT-PCR.